

福長大橋設計センター

正会員

・樋村 雄祐

神戸大学工学部

・

藤井 学

PC定着部の補強方法としては、従来弹性状態における応力分布を求め、その引張応力の分布形よりコンクリートの引張応力以上の部分に沿って補強筋を配置する方法と、実験的にその補強筋量を決定する方法とがとられてゐる。前者においては、配筋量は応力分布より求められる引張応力と鉄筋量の応力的バランスによつてその量が決定されており、ひびわれ発生後の変形量(ひびわれ巾)によつて考慮がよし、しくなさぬといふ。コンクリート構造物とくに、強度腐食環境にあるもの、あるいは水密性を要求されるもの等によつては、これらの定着部分における局部的な応力状態によつても、ひびわれのコンクリート剥離とされる場合を考えられよう。ここでは、中間埋込み定着部分の応力状態を例にとって、有限要素法によつて応力解析を行ない、かつ、ひびわれの発生した場合を想定して、その応力・変形状態を求め、これら結果とコンクリート中に埋め込まれた筋のすべり性状とを組み合わせることによつて、ひびわれのコンクリート剥離を行う方法を提案する。

(1) 無補強の場合のモデルの応力、変形性状

図-1-aに示すとくにPC定着体によるコンクリート内部における応力状態は、G.Franz⁽¹⁾によれば、図-1-aに示すとくとなる。その補強法としては、定着力の25%に相当する鉄筋量を定着体の底面に配置する様に述べてある。この定着部補強法では、定着体背面のひびわれに対する、そのひびわれ中のコンクリート剥離という面からみれば、あまり効果が期待できない。

本研究は、図-2-aに示すモデルを参考し、

i) ひびわれのない場合の応力分布

ii) 定着体背面にひびわれを想定

iii) 定着体前方にもひびわれを想定

の3ケースによつて有限要素法によつて解析し、さらに想定補強筋位置に応じて単位作用力によるひびわれ中の減少量を求めた。プレストレス導入時($P_0=50$)におけるiii)ケースのひびわれ巾は以下の通りである。

$$\begin{aligned} \delta_A &= 0.0787'' \\ \delta_B &= 0.0301'' \\ \delta_C &= 0.0834'' \end{aligned} \quad \cdots (1)$$

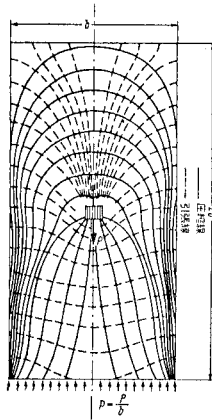


図-1-a 応力分布

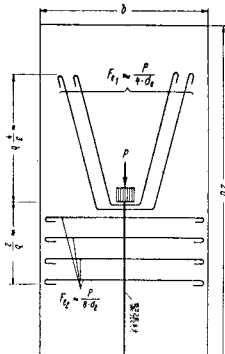


図-1-b 補強筋配置

上記のひびわれ中の補強筋を考えない場合であり、コンクリートのクリーフ進行を考慮すれば、その値は数倍に達することになる。図-3-aにi)ケースにおける応力性状を示す。

(2) 補強筋を考慮した場合のひびわれ中の変化

図-2-aに示されたA、B両点に補強筋(D13mm×2本)が配筋されていた場合を考えてみる。両点にともかくひびわれ中の減少させるように単位の力 $X_A = 1.0$, $X_B = 1.0$ を作用させた場合、各点のひびわれ中の減少量は、

$$\begin{aligned} X_A = 1.0'' & \quad \delta_A = 0.0088'', \delta_B = 0.0028'', \delta_C = 0.0082'' \\ X_B = 1.0'' & \quad \delta_A = 0.0028'', \delta_B = 0.0059'', \delta_C = 0.0027'' \end{aligned}$$

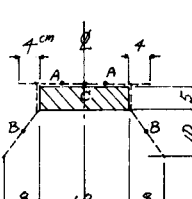


図-2-a 想定ひびわれ

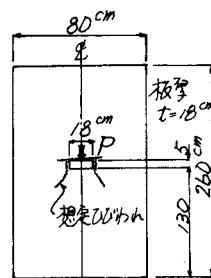


図-2-b 演算モデル

である。一方、D13mm筋の引張実験(直引き)によれば⁽²⁾、荷重と発生ひびわれ中の測定ひびわれ幅は図-4-aに示すと

くほぼ比例関係にあり、その比例定数は $k = 0.025 \text{ mm/mm}$ となる。したがって、この数値を用いて、補強筋がある場合のひびわれ幅を計算すると、以下のとおりとなる。

$$\begin{aligned} \Delta A &= 0.0787 - 0.0088X_A - 0.0028X_B = 0.025X_A \\ \Delta B &= 0.0301 - 0.0028X_A - 0.0059X_B = 0.025X_B \end{aligned} \quad \dots (3)$$

$$\therefore X_A = 2.205^t, X_B = 0.796^t \quad \dots (4)$$

$$\Delta d = 0.0834 - 0.0082X_A - 0.0027X_B = 0.063^m \quad \dots (5)$$

$$0_s = 2.205^t / 2 \times 1.267 \text{ cm}^2 = 870 \text{ kg/cm}^2 \quad \dots (6)$$

(3) クリープ変形を考慮した場合のひびわれ幅の変化

クリープ変形を考慮した場合、△t時間内におけるひびわれ幅の釣合を考えて、

$\Delta \delta_A, \Delta \delta_B$; A点、B点におけるひびわれ幅の増分

$\Delta \varphi$; クリープ係数の増分

$\Delta P_A, \Delta P_B$; 補強筋の応力増分

$\Delta \delta_{PA}, \Delta \delta_{PB}$; $X_A = 1, X_B = 1$ による A点のひびわれ幅の増分

$\Delta \delta_e, \Delta \delta_e$; A点、B点における無補強におけるひびわれ幅とすれば、

$$\Delta \delta_A = \Delta \delta_e \cdot \Delta \varphi + (\Delta \delta_{PA} \cdot \Delta P_A + \Delta \delta_{PB} \cdot \Delta P_B) + (\Delta \delta_{PA} P_A + \Delta \delta_{PB} P_B) \cdot \Delta \varphi \quad \dots (7)$$

$$\Delta \delta_B = \Delta \delta_e \cdot \Delta \varphi + (\Delta \delta_{PA} \cdot \Delta P_A + \Delta \delta_{PB} \cdot \Delta P_B) + (\Delta \delta_{PA} P_A + \Delta \delta_{PB} P_B) \cdot \Delta \varphi \quad \dots (7)$$

とすれば、(7)式以下以降も同様となる。

$$\Delta \delta_e \cdot \Delta \varphi + (\Delta \delta_{PA} \cdot P_A + \Delta \delta_{PB} \cdot P_B) + (\Delta \delta_{PA} P_A + \Delta \delta_{PB} P_B) \cdot \Delta \varphi = 0 \quad \dots (8)$$

$$\Delta \delta_e \cdot \Delta \varphi + (\Delta \delta_{PA} \cdot P_A + \Delta \delta_{PB} \cdot P_B) + (\Delta \delta_{PA} P_A + \Delta \delta_{PB} P_B) \cdot \Delta \varphi = 0 \quad \dots (9)$$

A点の位置に比べて、B点の補強筋の影響が少ないことから、(9)式においてB点に関する項を省略すると、

$$(\Delta \delta_e + \Delta \delta_{PA} \cdot P_A) \frac{d\varphi}{dt} + (\Delta \delta_{PA} - K_A) \frac{dP_A}{dt} = 0 \quad \dots (10)$$

$$\therefore \Delta \delta_e + \Delta \delta_{PA} \cdot P_A = \exp \left\{ \frac{\Delta \delta_{PA}}{\Delta \delta_{PA} - K_A} \cdot (C - \varphi) \right\} \quad \dots (11)$$

$$t=0, \varphi=0, P_A=P_{AO} \quad \text{の境界条件} \quad \text{では}$$

$$C = \frac{\Delta \delta_{PA} - K_A}{\Delta \delta_{PA}} \cdot \ln(\Delta \delta_e + \Delta \delta_{PA} \cdot P_{AO}) \quad \dots (12)$$

となる。

$$\varphi = 3.0, \Delta \delta_e = 0.0787^m, \Delta \delta_{PA} = -0.0088^m/t, K_A = 0.025^m/t \quad \text{とすれば、}$$

$$C = -10.851, P_A = 5.853^t \quad (0_s = 2310 \text{ kg/cm}^2), \Delta \delta_A = 0.146^m$$

を得る。このクリープ変形とともにひびわれ幅の変化について見て、補強供試体が現在研究中である、後日報告したい。

参考文献

1) G. フランツ, 立花量吉訳; 鉄筋コンクリート構造学, 鹿島出版会 pp. 91~95

2) 関井, 北林, 荒木; プレティニシニ PC 柔端部の水平ひびわれ制御について, ポレストレス コンクリート Vol. 16, No. 6 pp. 444~51

3) H. ハッセ, D. ユンクビット, 百島祐信訳; コンクリート構造物のクリープと乾燥収縮, 鹿島出版会

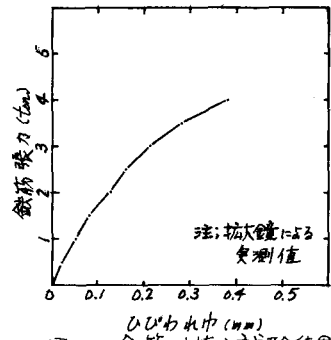


図-4 鉄筋引抜き試験結果

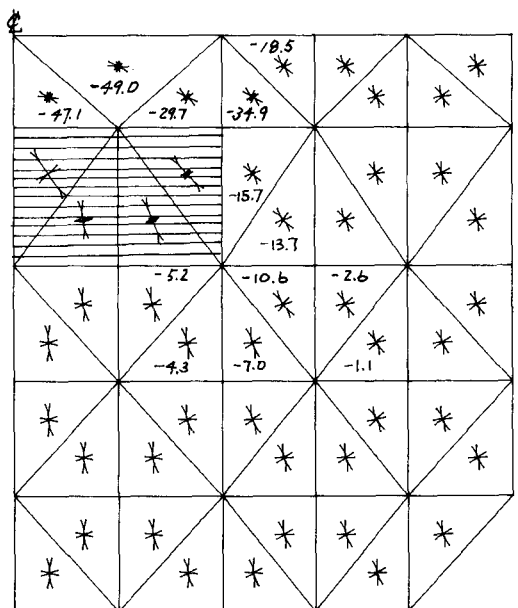


図-5. 演算モデル・応力分布例(部分拡大図)
図中数字は要素主引張応力 (kg/cm²)